

愛媛大学工学部土木工学科教室 正員 滝野正次

I. 考え方

岩石の大きな間がきや亀裂中ににおける地下水の運動は溝や管の中の水の運動と同じであると考えられる。このような運動状態は乱流と呼ばれ層流と違つて速度の大きさ渦の形成流線の交叉が特色である。全断面スリットの流出において上層の試料が下層の試料より粗粒の場合(下層には上層には2の添字を附し区別する)における噴砂に要する水位差については動水こう配一様としてカクの式から求められた古典的なクイック・サンドの理論

$$\text{動水こう配} = \frac{\Delta H_{\text{K}}}{B} = \frac{1}{B_1 + B_2} \left[\frac{\rho_s - \rho}{\rho} (1 - \alpha_1) B_1 + \frac{\rho_s - \rho}{\rho} (1 - \alpha_2) B_2 \right] \quad (1)$$

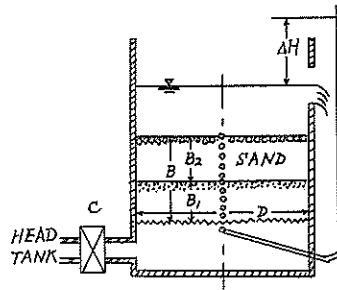
ここで B : 試料の厚み ρ_s/ρ : 試料および水の密度 α : 間がき率 ΔH_{K} : 水位差

とは著しく相違する。これは動水こう配が一様でないからであつて、この種全断面スリットにおける噴砂に要する水位差を主眼におき報告する。

II. 実験装置ならびに実験結果

実験装置は図-1の如く高さ4cmのヘッドタンク(水位一定)から導いた水を全断面スリットを通じて上部砂層に流入させようとしたもので、流量はバルブをもつて変化せらる。実験槽は直徑D=10.4 cmで、図の印は動水圧測定個所であつて、ピエゾ水頭と水位の読みとり差をH cm特にスリット直前のHを△Hとした。また用いた試料の性質については表-1

図-1



両端方眼紙の横軸に△H cm 縦軸に流量Q cc/secをとると、サンド・ジェットの発生点に近づく迄45°の直線をなし、△Hの最大点(サンド・ジェットの発生点)近くになつて45°の直線からそれ、△Hの最大点においてサンド・ジェットが発生する。サンド・ジェットが発生すると、△Hは減少し流量Qは増大して安定点に達する。

普通方眼紙の横軸にスリットか

表-1 試料の性質

粒径 mm	有効粒径 ds cm	間がき率 α	透水係数 k cm/sec	試料密度 ρ g/cm³
0.5 ~ 0.25	0.035	0.535	0.142	2.679
1.0 ~ 0.5	0.069	0.523	0.423	2.667
2.0 ~ 1.0	0.139	0.511	1.441	2.667
2.8 ~ 2.0	0.236	0.500	3.805	2.655

らの距離B cmを縦軸にH cmをとると、動水こう配一様の場合においては流量Q一定のもとで一直線となる。しかし、上層が下層より細粒の場合においては、直線から若干ずれて上層と下層の境界点を境とした二本の直線となるが、そこでは著しくはない。これは下層の透水係数が上層のそれに比し著しく大きいため下層の動水こう配は上層のそれに比し小さくなるから、下層よりも上層試料がさきに流动状態に達するためであつて、この場合においては噴砂限界の水位差は(1)式により求められることが考

えられる。しかるば、上層が下層より粗粒の場合においては図一式にて例を示した如く、動水こう配の變化は著しく、下層の動水こう配は上層のそれに比し著しく大きい。従つて、下層が流动状態に達する条件を具備しても、上層試料が破りかぶさった形となり噴砂の起り難いことが考えられる。また、下層上層とも一直線となることは不自然なようにも見られるが、今回は直線となるものとして考えることにする。

砂層内の流れには、損失水頭 $\Delta H = \Delta P / \rho g$ 、平均流速 v 、水の粘性係数 μ 、水の密度 ρ 、砂層の長さ B 、砂粒子の粒径（有効粒径） d_s の 6 個の量が関係する。

次元解析により

$$\frac{\Delta P}{B} = C \left(\frac{v^2}{\rho d_s^2} \right) \left(\frac{\rho v d_s}{\mu} \right)^2 \quad \dots \dots \dots \quad (2)$$

こゝに $\Delta P = \rho g \cdot \Delta H$ なる故

$$\frac{\Delta H}{B} = C \frac{v^2}{\rho^2 g d_s^2} \left(\frac{\rho v d_s}{\mu} \right)^2 \quad \dots \dots \dots \quad (3)$$

となり $\frac{\rho v d_s}{\mu} = Re$ として透透流におけるレイノルズ数と定義すると、流速 v の大きさと Re は流れは層流で、レイノルズ数に比例するから $Re = 1$ となり

$$v = \lambda' \frac{\Delta H}{B} \quad \text{こゝに } \lambda' = \frac{1}{C} \frac{\rho g d_s^2}{\mu} \quad \dots \dots \dots \quad (4)$$

となり Darcy の法則となる。従つて Darcy の法則は流れが層流でレイノルズ数の一次関係が成立する場合において成立する。

乱流すなわち $Re = 2$ の場合には

(3) 式より

$$\frac{\Delta H}{B} = 3 \frac{1}{d_s} \frac{v^2}{2g} \quad \left. \right\} \quad \dots \dots \dots \quad (5)$$

が成立する。 3 は流れの抵抗係数と呼ばれるものである。

従つて

$$v = \sqrt{\frac{2g d_s}{3}} \sqrt{\frac{\Delta H}{B}} = \lambda'' \sqrt{\frac{\Delta H}{B}} \quad \dots \dots \dots \quad (6)$$

となり、乱流状態での平均流速は動水こう配の $\frac{1}{2}$ 乗に比例することを示すもう一つのアーラスノボリスキウ式に一致する。従つて、層流状態の透水係数と乱流状態の透水係数とは同一の値ではなく、だの値を知ることによって (4) (6) 式より λ' を求めること

が出来る。なお、 λ' と Re の関係を図-3 に記してあるが、こゝに限界 Re を知ることは困難であろう。3 Re と Re の関係は図-4 に記してあるが、 Re が何程度の値で層流乱流の限界を示すか、また $Re > 4$ では両対数紙上で直線をなすことがわかる。こゝ点については、Landquist の論文を読む。

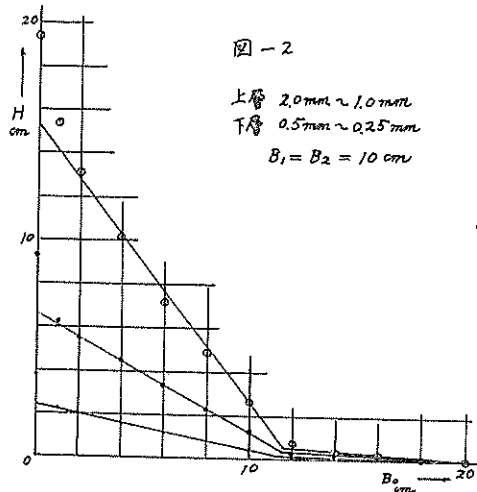


図-2

上層 2.0mm ~ 1.0mm
下層 0.5mm ~ 0.25mm
 $B_1 = B_2 = 10\text{cm}$

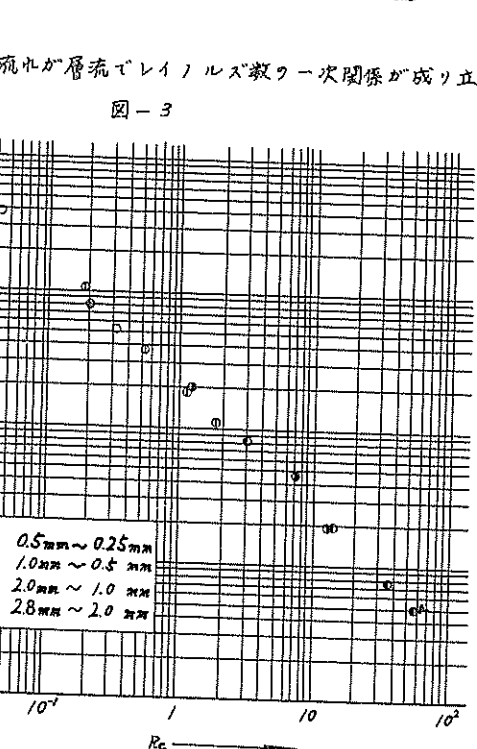
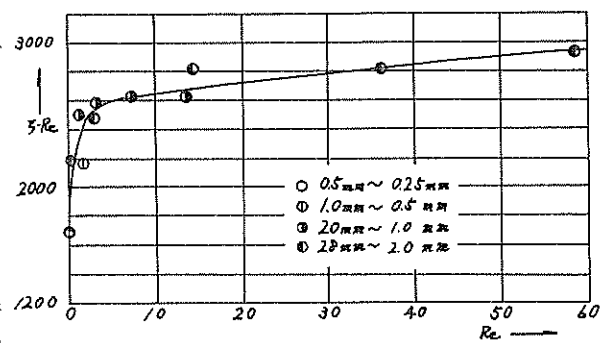


図-3

大実験結果^①と一致する。下層が細粒上層が粗粒の場合においては、水压をあげて少く過程で粗粒は流動しかけてもその上に粗粒が押しかぶさった形をしていふ。図-3にも見られる如く、一般的に粗粒になるとにつれ Re が大きくなることからしても下層が層流上層が乱流として図-1 のスリット直下上層試料と下層試料との境界および上層試料の上端におけるビエゾ水頭の読みを H_a H_b H_c とすると、 $H_b - H_c$ の値がカク釣り合の関係以

图 - 4



上に述べたと噴砂がおこると考えられるまで、噴砂限界においては $H_b = H_c + \frac{P_a - P}{(1 - \lambda_2)} B_2 \dots (7)$

$$\text{また連続の法則より } \tau_1' \left(\frac{H_a - H_b}{B_1} \right) = \tau_2'' \left(\frac{H_b - H_c}{B_2} \right)^{\alpha_2^2} \quad \dots \quad (8)$$

(7)(8) 式より $H_a - H_c$ を求めると

$$H_a - H_c = A H_{\text{ext}} = B_1 \left(\frac{\tau_{k2}^2}{\tau_k^2} \right) \left[\frac{P_{S2} - P}{\rho} (1 - \lambda_2) \right]^{0.5} + \frac{P_{S2} - P}{\rho} (1 - \lambda_2) B_2 \quad \dots \quad (9)$$

が成立する。いま $\frac{P_2 - P}{P}(1 - \lambda_2)B = \Delta H_{\text{吸}}$ とき $B_1 = B_2 = \frac{B}{2}$ のときは

$$\Delta H_{\text{HI}} = \frac{1}{2} \left[B \left(\frac{\tau_2''}{\tau_2'} \right) \left(\frac{\Delta H_{\text{HO}}}{B} \right)^{0.5} + \Delta H_{\text{HO}} \right] \quad \dots \quad (10)$$

しかし、噴砂のところ直前においては、下層も上層も乱流と考えると、連続の法則より、

$$f_{E_1}'' \left(\frac{H_a - H_b}{B_1} \right)^{0.5} = f_{E_2}'' \left(\frac{H_b - H_c}{B_2} \right)^{0.5} \quad \dots \dots \dots \quad (11)$$

が成立し(7)式を入れて $H_a - H_c$ を求めよと.

$$H_a - H_c = \Delta H_{*2} = B_1 \left(\frac{\rho_{*2}}{\rho_2} \right) \left[\frac{P_{*2} - P}{\rho} (1 - \lambda_2) \right] + \frac{P_{*2} - P}{\rho} (1 - \lambda_2) B_2 \quad \dots \quad (2)$$

$$\text{が成立する。いま、} B_1 = B_2 = \frac{B}{2} \text{ のときは} \quad \Delta H_{\text{吸}} = \frac{\Delta H_{\text{吸}0}}{2} \left[1 + \left(\frac{T_2''}{T_1''} \right)^2 \right] \quad \dots \dots \dots \quad (13)$$

実験により噴砂をおこすにあた

三一八

実験番号	上層粒径 mm	下層粒径 mm	B ₁ cm	B ₂ cm	実験測定による ΔH_{max} , cm	ΔH_{*1} , cm	ΔH_{*2} , cm
46-1	2.0 ~ 1.0	0.5 ~ 0.25	10	10	32.65	28.81	29.15
46-2	1.0 ~ 0.5	0.5 ~ 0.25	10	10	25.50	23.64	20.02
46-3	2.8 ~ 2.0	2.0 ~ 1.0	10	10	27.00	10.86	21.19
46-4	2.0 ~ 1.0	1.0 ~ 0.5	10	10	30.80	15.10	22.06
46-5	1.0 ~ 0.5	0.5 ~ 0.25	5	5	8.25	11.82	10.01
46-6	2.0 ~ 1.0	0.5 ~ 0.25	5	5	13.95	14.40	14.58
46-7	2.8 ~ 2.0	0.5 ~ 0.25	5	5	13.65	17.11	20.69
46-8	2.0 ~ 1.0	1.0 ~ 0.5	5	5	11.10	2.55	11.03
46-9	2.8 ~ 2.0	1.0 ~ 0.5	5	5	16.00	8.50	15.10
46-10	2.8 ~ 2.0	2.0 ~ 1.0	5	5	10.40	10.85	10.59

直前まで Re の値は 4 以下である。従って、この実験において下層の粒径が $0.5 \text{ mm} \sim 0.25 \text{ mm}$ の場合における噴砂条件としては、下層は層流上層は乱流として考えた ΔH_{*2} の値を用いるのが妥当と考えられる。下層が $1.0 \text{ mm} \sim 0.5 \text{ mm}$ の場合には、 ΔH_{*2} の値の方が測定値に近いようである。これは $1.0 \text{ mm} \sim 0.5 \text{ mm}$ の場合噴砂近くの Re の値が乱流領域に入るためにではなくかと考えられる。従って、下層粒径がこれより大きい $2.0 \text{ mm} \sim 1.0 \text{ mm}$ の場合においては、上層・下層とも乱流と考えた ΔH_{*2} の方が測定値に近いことは勿論である。以上下層が細粒上層が粗粒の場合にありする噴砂に要する

水位差について述べたが、測定値に近づいたとはいえ可成りの隔たりがある。これについては、つきの理由によろもと考えられる。図-4に示された如く $Re > 4$ の範囲を考えると、 $Re = 2606 + 5.9 Re$ の関係にあり、変形して $\frac{\Delta H}{B} = \frac{2606 \gamma}{2g d^2} u + \frac{5.9}{2g d} u^2$ を用ひる方がより精度があがると考えられること。また実験の際下層の細粒部分の上に上層試料が押しかかって、噴砂に際し試料が全体的に持ち上げられていく場合があつて、この場合における噴砂に要する水位差 $H_a - H_c$ の測定が困難なこと。

表-3

上層が下層よりも細粒の場合については、前述の如く下層の動水こう配よりも上層の動水こう配が大きいため、下層よりも上層に上層試料が流动状態に達し、下層の動水こう配が力り合の関係以上に達すと噴砂が

上層粒径 mm	下層粒径 mm	B_1 cm	B_2 cm	実験測定による ΔH_{max} , cm	(1)式による ΔH , cm
0.5 ~ 0.25	2.8 ~ 2.0	5	5	8.30	8.06
1.0 ~ 0.5	2.8 ~ 2.0	5	5	8.50	8.14
2.0 ~ 1.0	2.8 ~ 2.0	5	5	8.40	8.24
0.5 ~ 0.25	2.0 ~ 1.0	5	5	8.10	8.00
1.0 ~ 0.5	2.0 ~ 1.0	5	5	8.00	8.07
0.5 ~ 0.25	1.0 ~ 0.5	5	5	7.55	7.90

おこるもと考えられる。従つて、この場合における噴砂限界の水位差は(1)式によつて求められることが考えられる。この結果につきでは表-3に記してあるが、実験測定による ΔH_{max} と大差のないことが見られる。

IV. むすび

下層試料が上層試料よりも細粒の場合について、全断面スリットによる噴砂に要する水位差について、水理学的立場から述べた。従来、この種噴砂については、間欠式水压測定による解決法をつけて水理学的立場から解決は困難とされてきたが、この方法により噴砂に要する水位差を推定し得るもと考えられる。終りに、九州大学工学部水工土木学科教室猪東一郎教授のご指導によることを附記して謝意を表します。

参考文献

- ① Lindquist, E.; On the flow of water through Porous Soil, Rep. 1st Cong. Large Dams, Stockholm, 81, 1933.